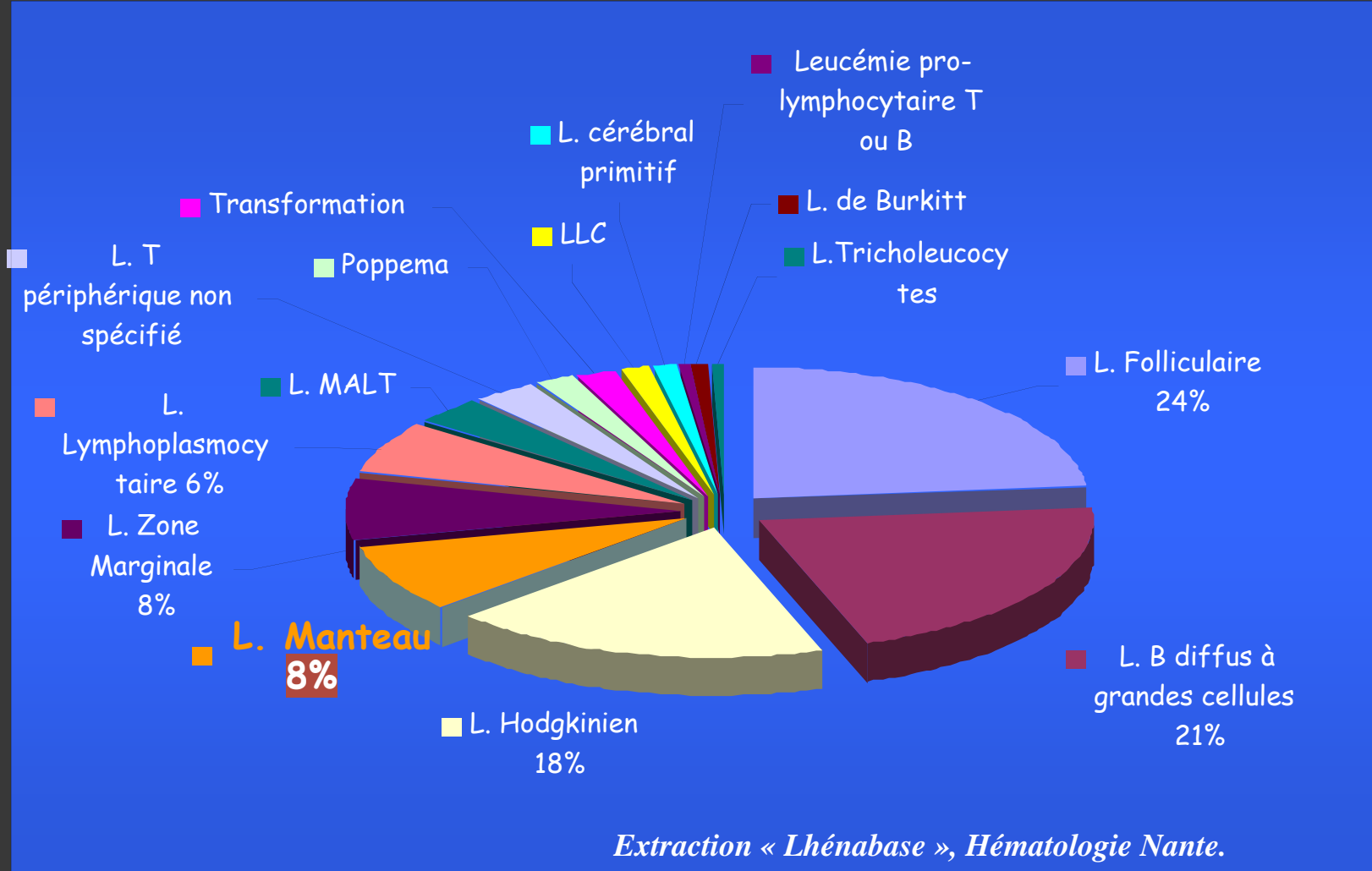


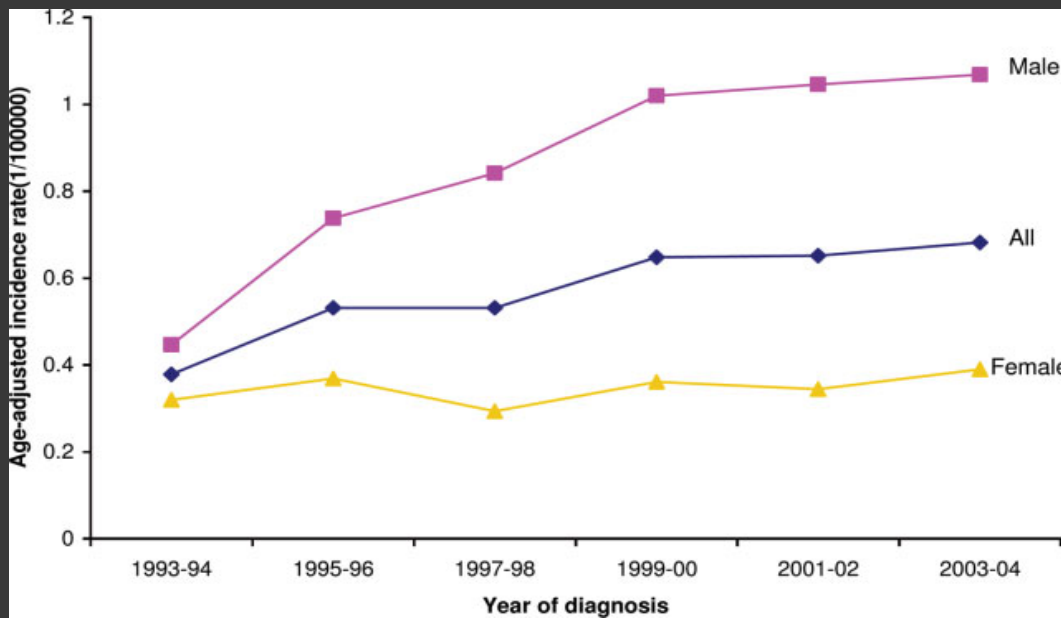
Lymphome à cellules du manteau: chimiothérapies, perspectives thérapeutiques



Dr Le Gouill Steven, MCU-PH, Service d'hématologie clinique, Nantes.



de .07 à 3 cas pour 100 000 hbts/an



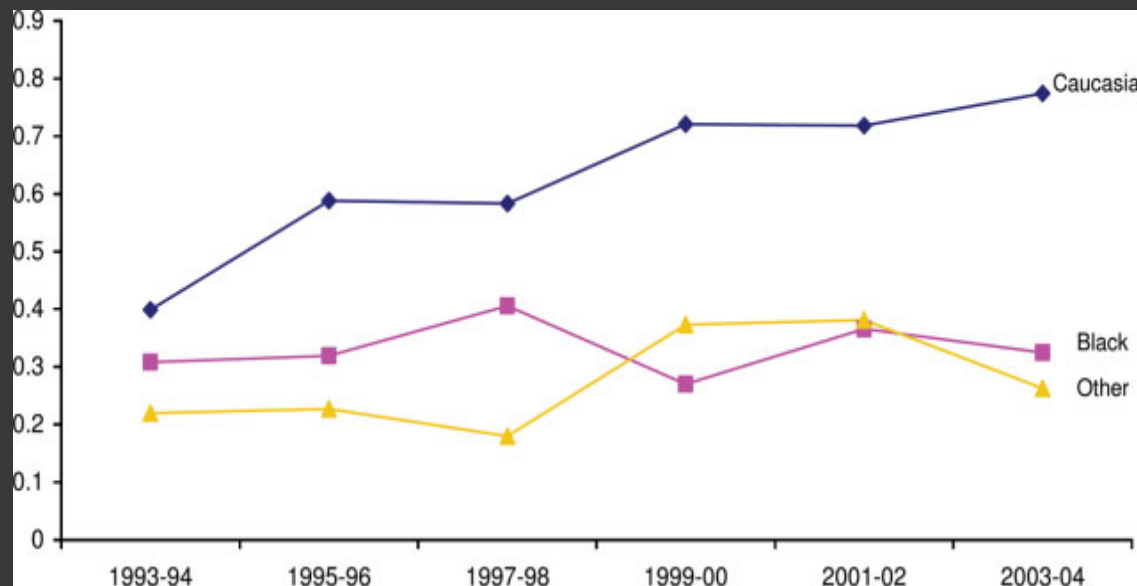
Zhou Y et al. Cancer

Argatoff LH, Connors JM, Klasa RJ, Horsman DE, Gascoyne RD. Mantle cell lymphoma: a clinicopathologic study of 80 cases. *Blood* 1997;89(6):2067-78.

Hiddemann W, Unterhalt M, Herrmann R, Wöltjen HH, Kreuser ED, Trümper L et al. Mantle-cell lymphomas have more widespread disease and a slower response to chemotherapy compared with follicle-center lymphomas: results of a prospective comparative analysis of the German Low-Grade Lymphoma Study Group. *J Clin Oncol* 1998;16(5):1922-30.

Barista I, Romaguera JE, Cabanillas F. Mantle-cell lymphoma. *Lancet Oncol* 2001;2(3):141-8.

Zhou Y, Wang H, Fang W, Romaguera JE, Zhang Y, Delasalle KB et al. Incidence trends of mantle cell lymphoma in the United States between 1992 and 2004. *Cancer* 2008;113(4):791-8.



Age-adjusted Incidence

Age, y	Rate per 100,000	Relative Risk (95% CI)
<50	0.07 (0.06-0.08)	1.00
50-59	0.83 (0.76-0.92)	11.72 (10.00-13.76)
60-69	1.96 (1.81-2.12)	27.55 (23.77-32.01)
70-79	2.97 (2.76-3.19)	41.70 (36.08-48.34)
80	2.78 (2.51-3.07)	39.10 (33.29-45.99)

ASPECTS THERAPEUTIQUES

Quelle Chimiothérapie ?

Anthracyclines-based chemotherapy without rituximab in MCL

Auteurs	Ref	Chimiothérapie	n	stade	RC (en %)	R. globale (%)
Meusers	Hematol Oncol, 1989	CHOP (vs COP)	26	avancés	58%	89%
Dreyling	Blood 2005	CHOP(interféron)	122	diag	35%	75%
Gressin	Ann Oncol (suppl) 1997	VAD-chl			43%	
Khouri	JCO 1998	hyper C-VAD/ MTX	45	diag/rech	38%	93.5%
Zinzani	JCO 2000	Fluda-Ida (vs fluda)	18	diag	33%	61%

Place de
l'aracytine en première ligne

High dose Ara-C in MCL

Khoury et al., 1999 : Hyper-CVAD

(n= 45)

CR/OR 38%/93%

Puis autogreffe

Lefrere et al., 2002 :CHOP-DHAP

(n=28)

CR

OR

4x CHOP

7%

57%

4x DHAP

84%

92%

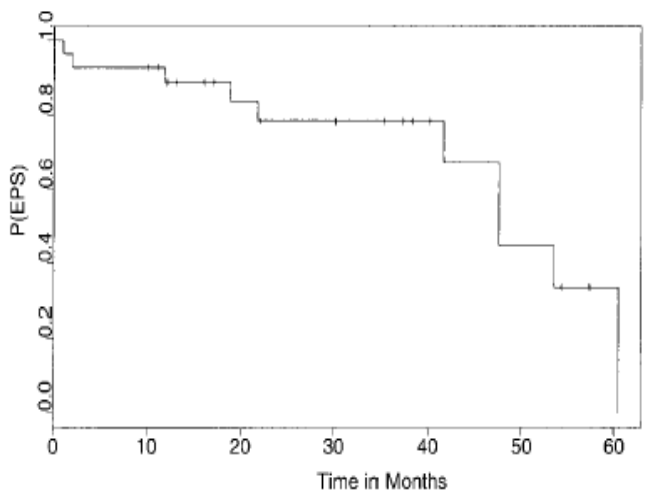


Figure 2 Event-free survival (Kaplan-Meier).

De Guibert et al. (haematologica; 2006):

N=24

4 x R-DHAP: 92% CR/Cru

Lefrère Leukemia 2002

Geisler et al (Blood 2008)

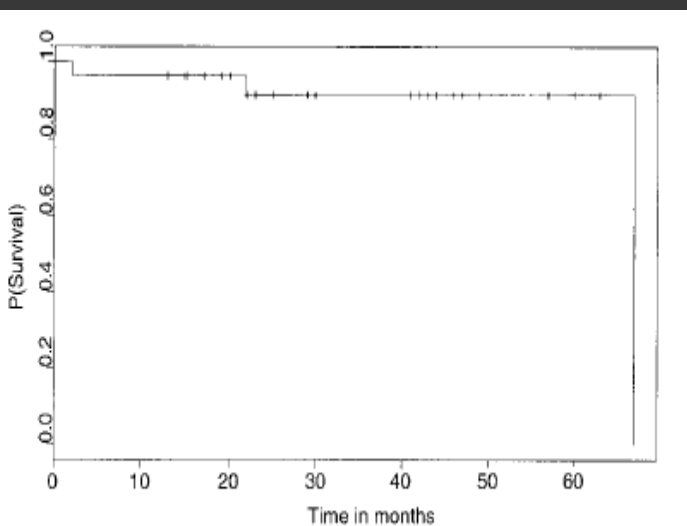


Figure 3 Overall survival (Kaplan-Meier).

RC/RCu

27%

Maxi CHOP

54.4%

R+maxi CHOP/HDARA-C

French Protocol

GELA



Delarue et al., 2003

	After three courses (R)-CHOP	After three courses of R-DHAP
Evaluable Patients	42	39
CR	6/42 (14%)	20/39 (51%)
PR	31/42 (74%)	11/39 (28%)
Stable Disease	3/42 (7%)	1/39 (3%)
Patient exclusion	2/42 (5%)	7/39 (18%)
Progressive disease	0/42	2/39

Place du Rituximab ?

Chimiothérapie avec rituximab

uteur	Ref	ttt		n	RC/Cru
Romaguera	JCO oct 2005	R-hyper CVAD/MTX arac	diag	97	87%
Howard	JCO 2002	CHOP-R	diag	40	48%
Wilson	Blood (Abst 358) 2003	EPOCH-R		26	92%
Lenz	JCO 2005	CHOP (21) x 6	diag	60	7%
	vs	CHOP-R (21) x6		62	34%
Forstpointner	Blood 2004 (FL et MCL)	FCM vs	rech	24	CR: 0%
		FCM-R		24	29%
De Guibert	Haematologica 2006	R-DHAP	Diag	24	92%
Geisler	Blood	R+CHOP/HD AraC	Diag	160	54.4%

Immunotherapy With Rituximab and Cyclophosphamide, Doxorubicin, Vincristine, and Prednisone Significantly Improves Response and Time to Treatment Failure, But Not Long-Term Outcome in Patients With Previously Untreated Mantle Cell Lymphoma: Results of a Prospective Randomized Trial of the German Low Grade Lymphoma Study Group (GLSG)

Georg Lenz, Martin Dreyling, Eva Hoster, Bernhard Wermuth, Ulrich Dohren, Bernd Metzner, Hartmut Einhornreuther, Andreas Neubauer, Hannes Wiede, Hjelmar Steinheuer, Sonja Martin, Else Heidemann, Ali Alkour, Beate Parwaresch, Joerg Hinsfeld, Michael Unterhalt, and Wolfgang Hiddemann

A B S T R A C T

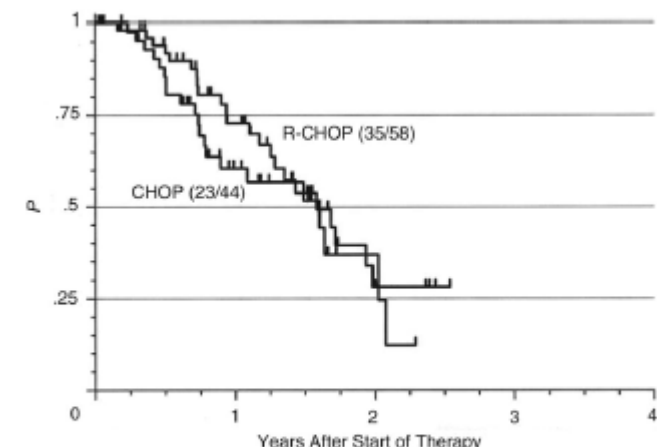
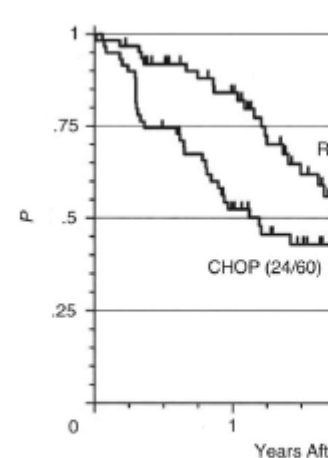
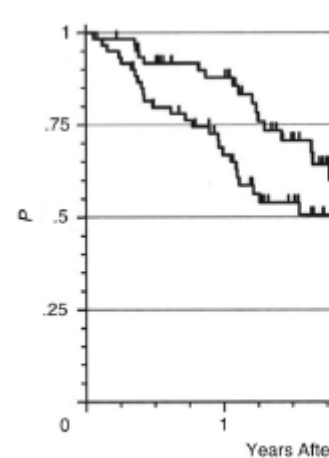
Table 2. Response to Induction T

	CHOP
No.	
Total No.	59*
CR or PR	44
CR	4
PR	40
MR/SD	11
PD	4
Ex	0

NOTE: Rituximab plus cyclophosphamide, prednisone (R-CHOP) was significantly better than CHOP in terms of remission (CR) rate ($P = .00024$) and time to treatment failure (TTF).

Abbreviations: PR, partial remission; MR, minimal residual disease; SD, stable disease; PD, progressive disease; Ex, excluded.

*Only 59 patients assessable, as in or after therapy.



Taux de réponse

Délai traitement de rechute

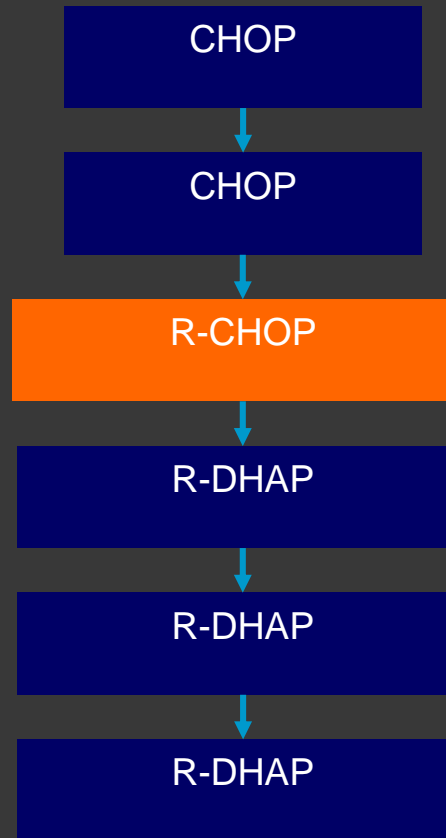
TTF

OS

Lymphome du manteau : RCHOP et RDHAP suivi d'une autogreffe

Analyse finale de l'étude de phase II du GELA

- 60 patients de moins de 66 ans
- Lymphome du Manteau
- non traités
- Stade III ou IV



**Autogreffe de cellules souches périphériques
(TAM 6 ou BEAM)**

Chimiothérapie
d'induction

Autogreffe
?

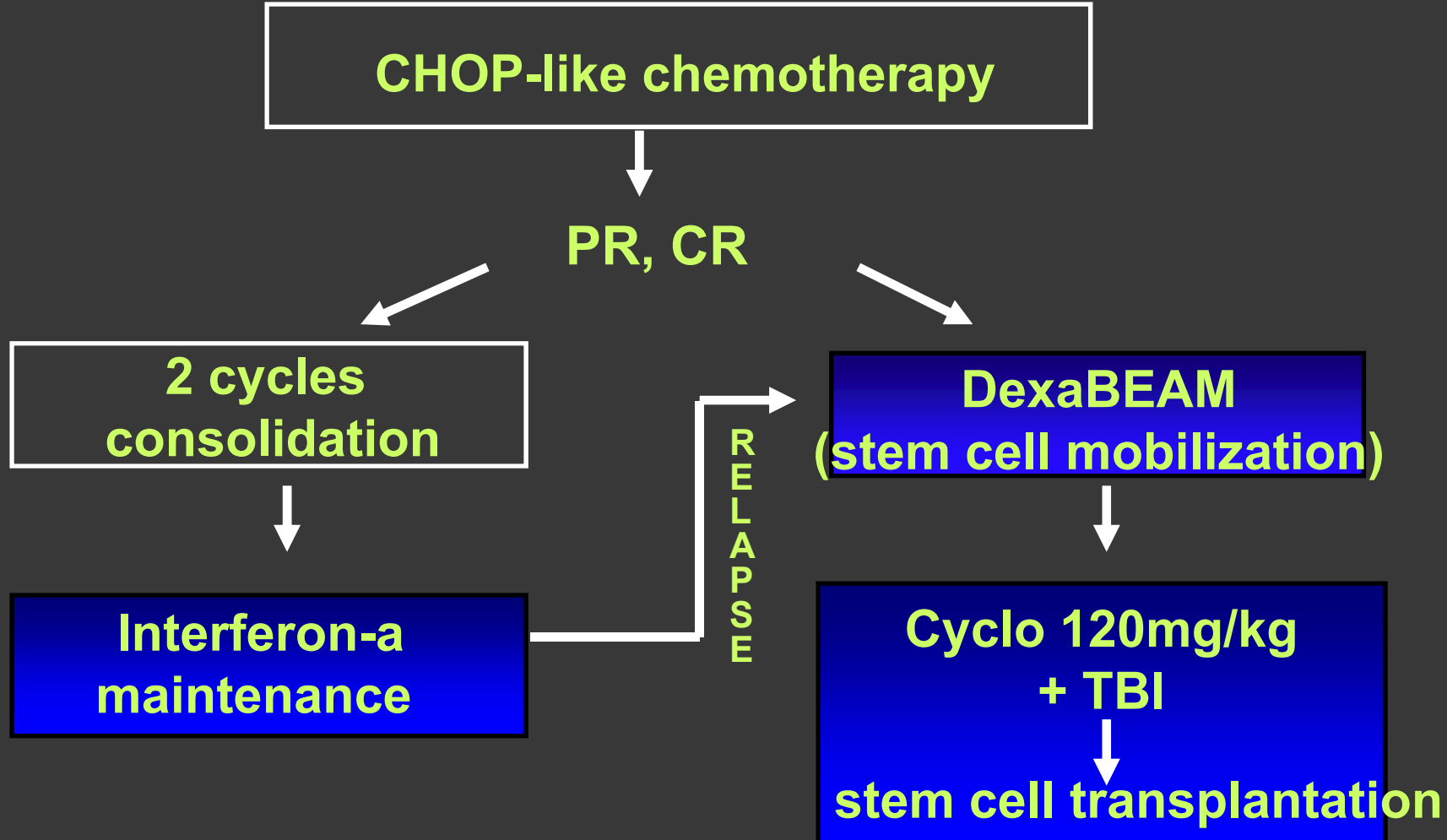
R-CHOP

R-CHOP/Aracytine

R-Aracytine

R-Hyper C-VAD

European MCL Network: ASCT vs. IFN

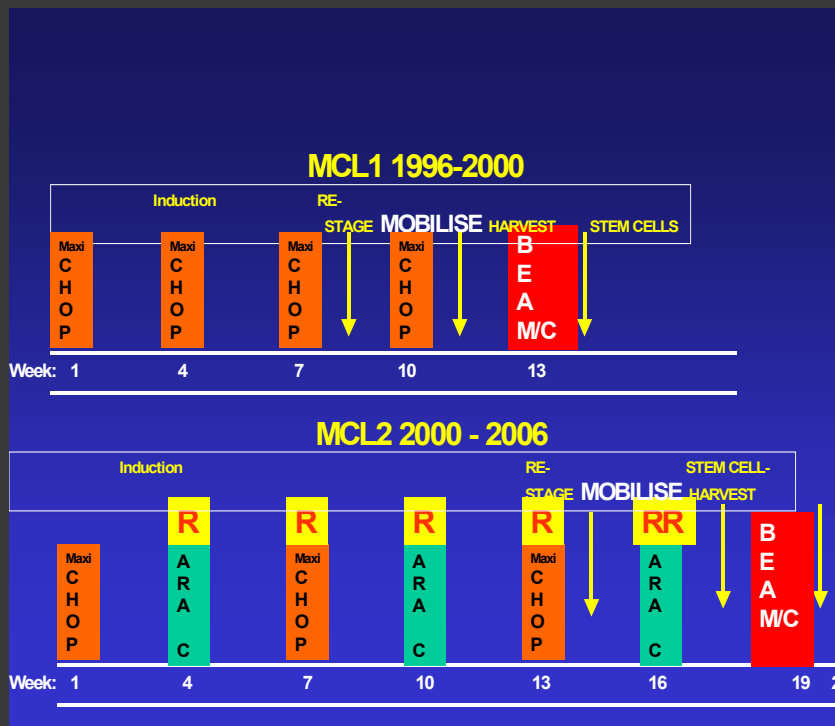


European MCL Network: ASCT vs. IFN

Best response after consolidation (PP)

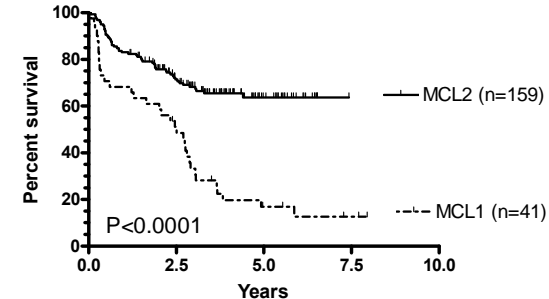
	CR	PR
ASCT	49 (78%)	13 (21%)
IFN	24 (35%)	44 (64%)

ASCT-related deaths: 6 of 75 (8%)

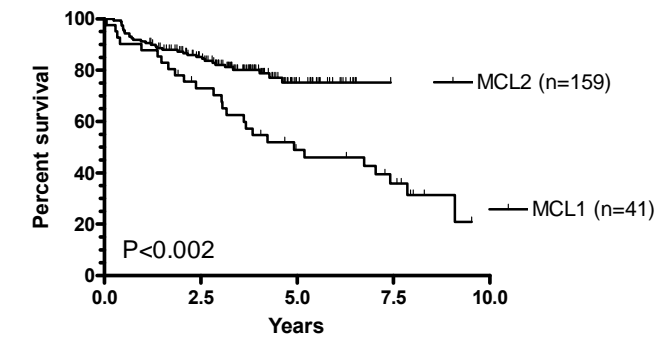


Nordic MCL1 and MCL2 protocols:

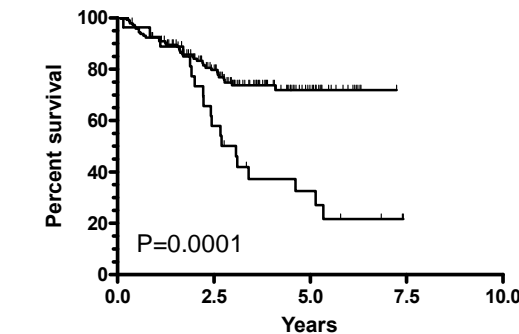
A: Event-free Survival proportions



B: Survival



C: Response duration



Autogreffe

uteur	Ref	Ttt avant greffe		N	RC/Cr u post auto	ORR	Median FU	PFS	OS
Dreyling	Blood 2005	CHOP+/-R like	Diag	62	81%	98%	39m	54% - 3y	83% - 3y
Khouri	Cancer 2003	Hyper C-VAD/MTX arac	Diag	33	100%	100%	49m	43% - 5y	77% - 5y
Gianni	Blood 2003	R HD chimio/2 auto (Melph)	Diag	28	100%	100%	35m	79% - 4.5y	89% - 4.5y
Thieblemont	Cancer 2005	R-chimio ou chimio puis R	Diag (n=29)	34	77%	100%	31m	71% - 3y	87% - 3y
Vigouroux	Haematologica	CHOP like+/- DHAP	Diag	30	87%	97%	55m	40% - 5y	62% - 5y
Geisler	Blood 2008	R-HD-CHOP/HD-ARA	diag	160	89.7%	96%	47m	66% - 6y	70% - 6y

Chimiothérapie
d'induction

Autogreffe

R-CHOP

R-CHOP/Aracytine

R-Aracytine

R-Hyper C-VAD

TBI/endox ?

TAM ?

BEAM ?

BMT, Milpied et al., 1998

N=18

FU= 36 mois

DFS à 4ans: 48%

OS à 4 ans: 80%

TBI> no TBI en DFS et OS

Chimiothérapie
d'induction +
rituximab

autogreffe

Entretien
?

R-VAD-C

R-CHOP 14

R-CHOP14 /R-
DHAP

R-DHAP

TBI/Endoxan

TAM

BEAM

Z-BEAM

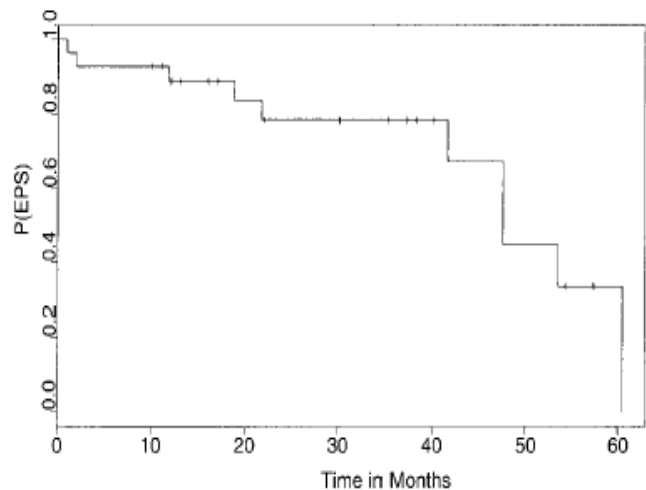


Figure 2 Event-free survival (Kaplan-Meier).

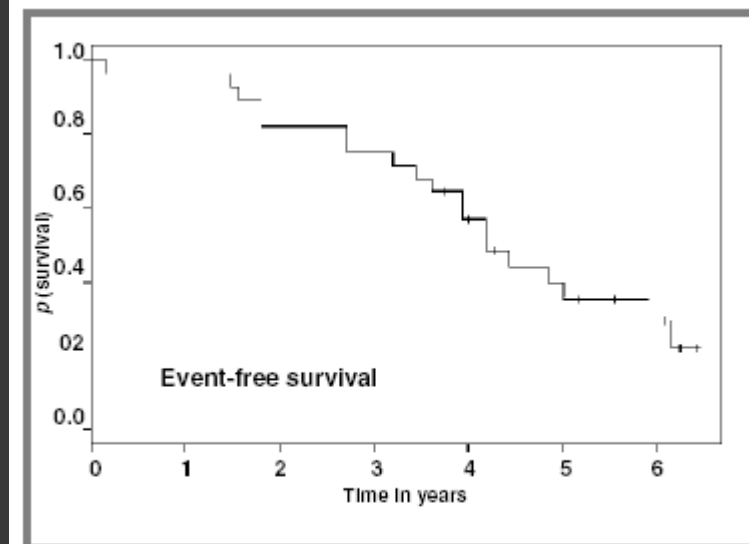


Figure 2. Event-free survival (Kaplan-Meier).

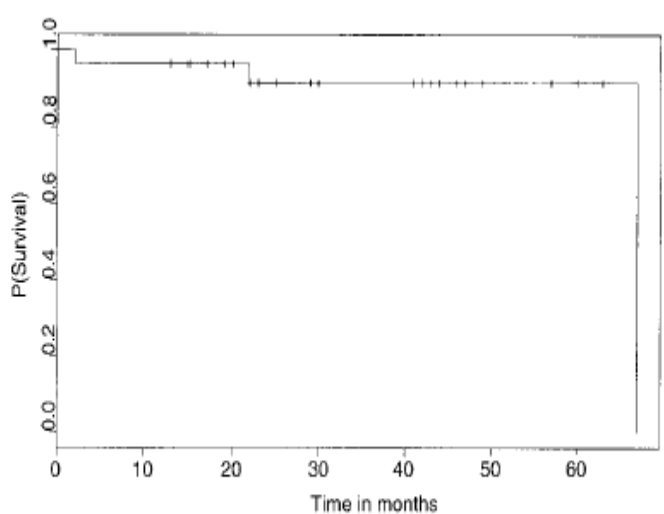


Figure 3 Overall survival (Kaplan-Meier).

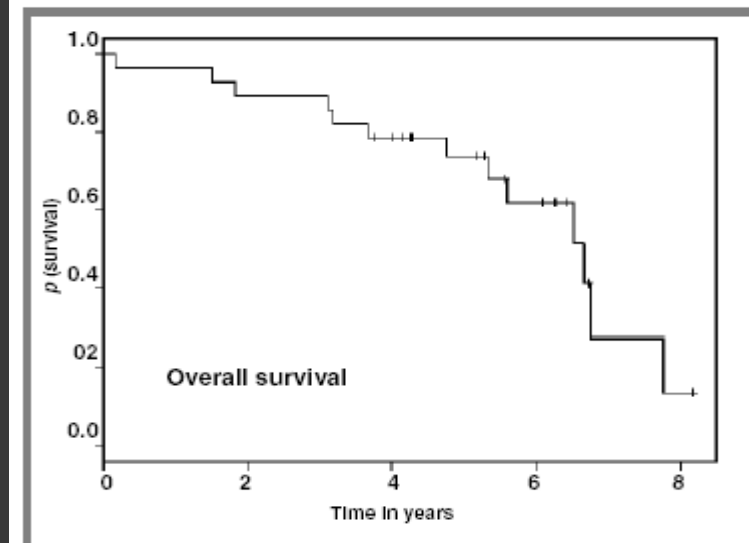
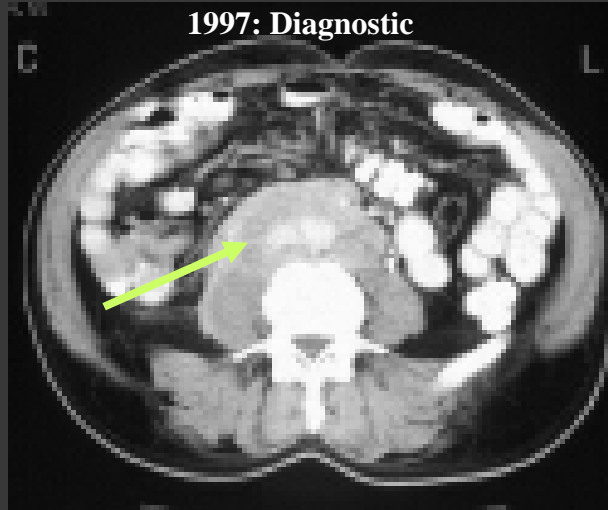
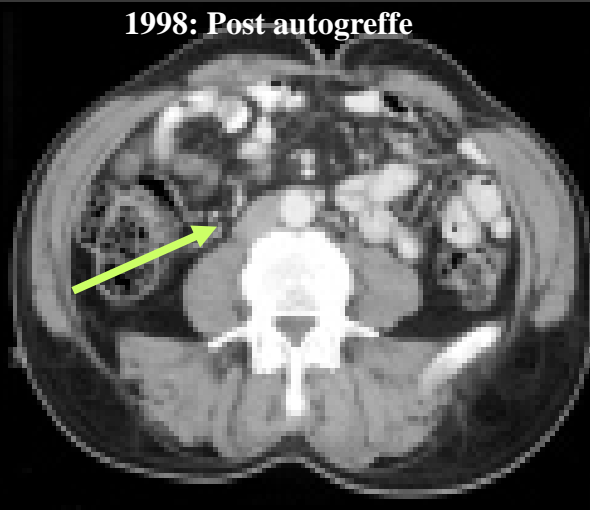


Figure 1. Overall survival (Kaplan-Meier).

1997: Diagnostic



1998: Post autogreffe



2001: surveillance

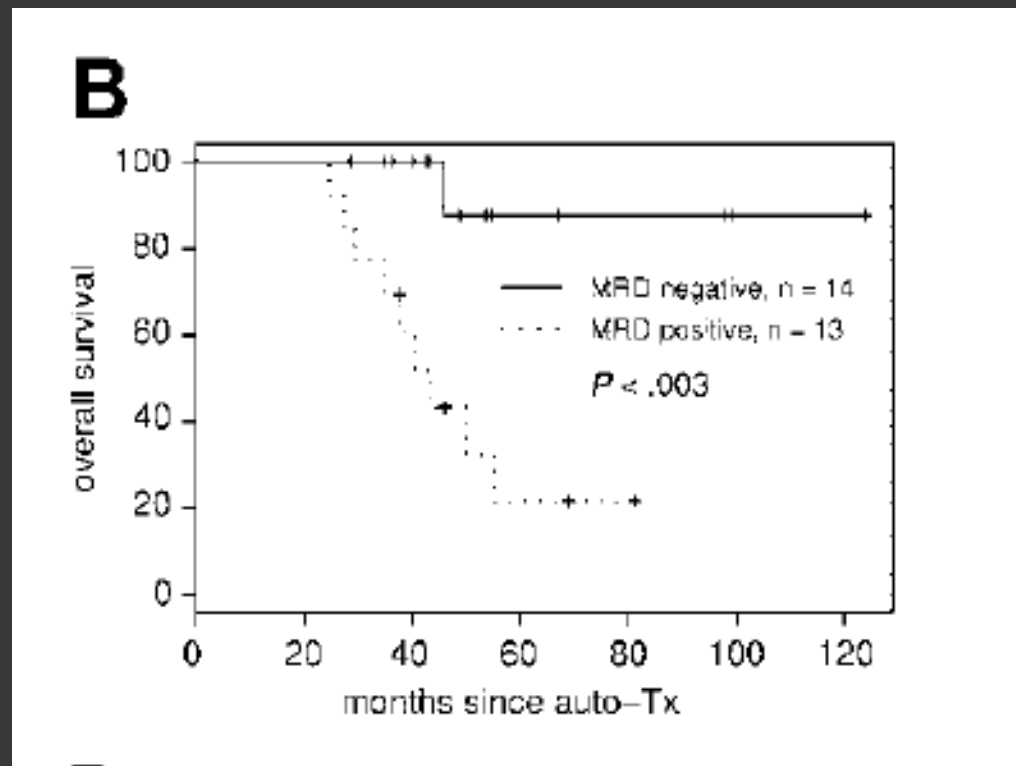


2007: Rechute



Quantitative assessment of molecular remission after high-dose therapy with autologous stem cell transplantation predicts long-term remission in mantle cell lymphoma

Christiane Pott, Carsten Behrader, Stefan Giesk, Lars Hader, Markus Tiedemann, Thorsten Raff, Monika Brüggemann, Matthias Ritzger, Benedikt Gahn, Michael Unterhalt, Martin Drayling, Wolfgang Hiddemann, Rainer Siebert, Peter Dreyer, and Michael Kneba

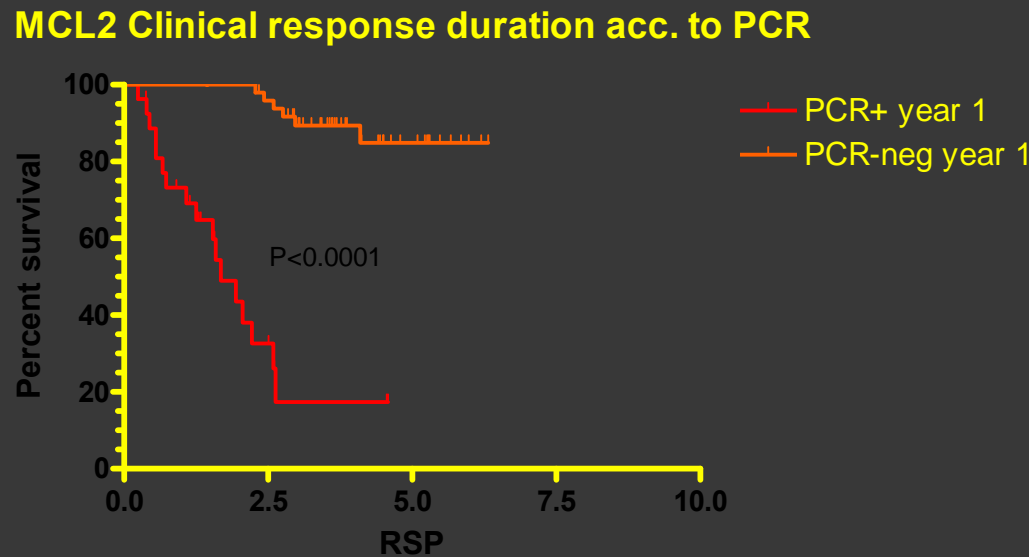




Nordic MCL protocols: Results

Clinical response duration

According to PCR



Chimiothérapie
d'induction +
rituximab

autogreffe

Entretien
?

R-VAD-C

TBI/Endoxan

Rituximab ?

R-CHOP 14

TAM

R-CHOP14 /R-
DHAP

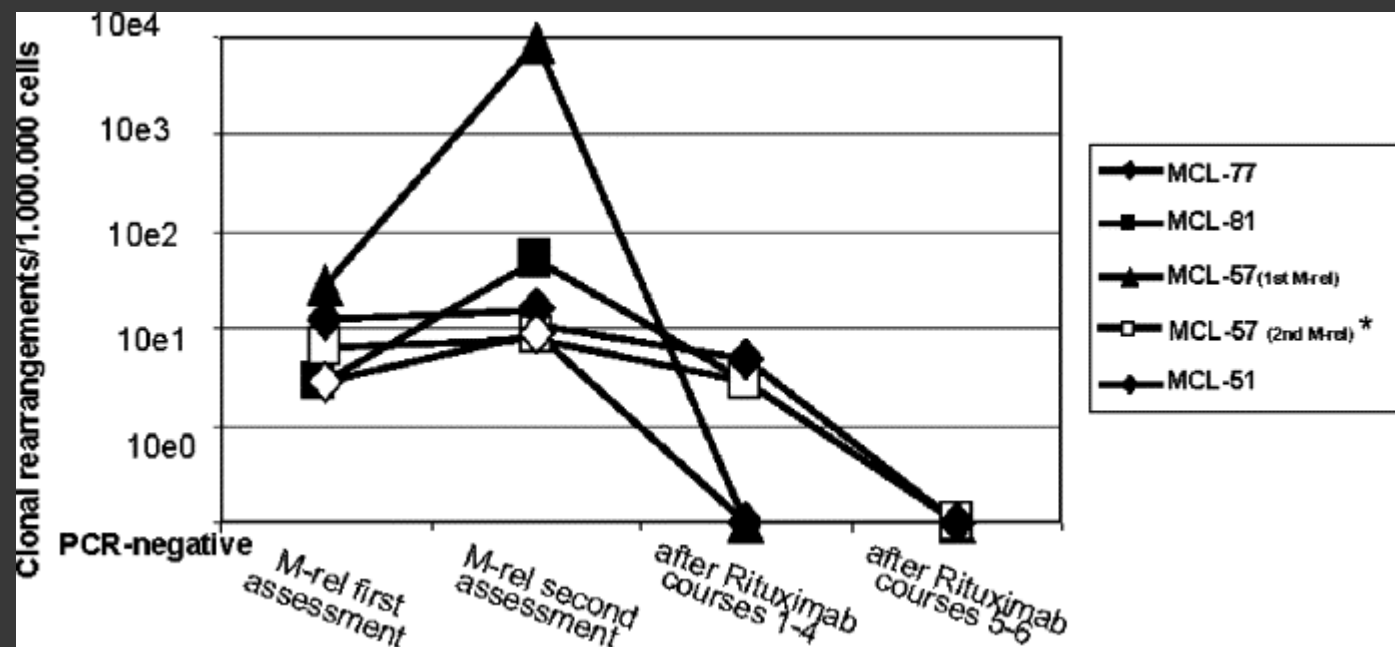
BEAM

R-DHAP

Z-BEAM

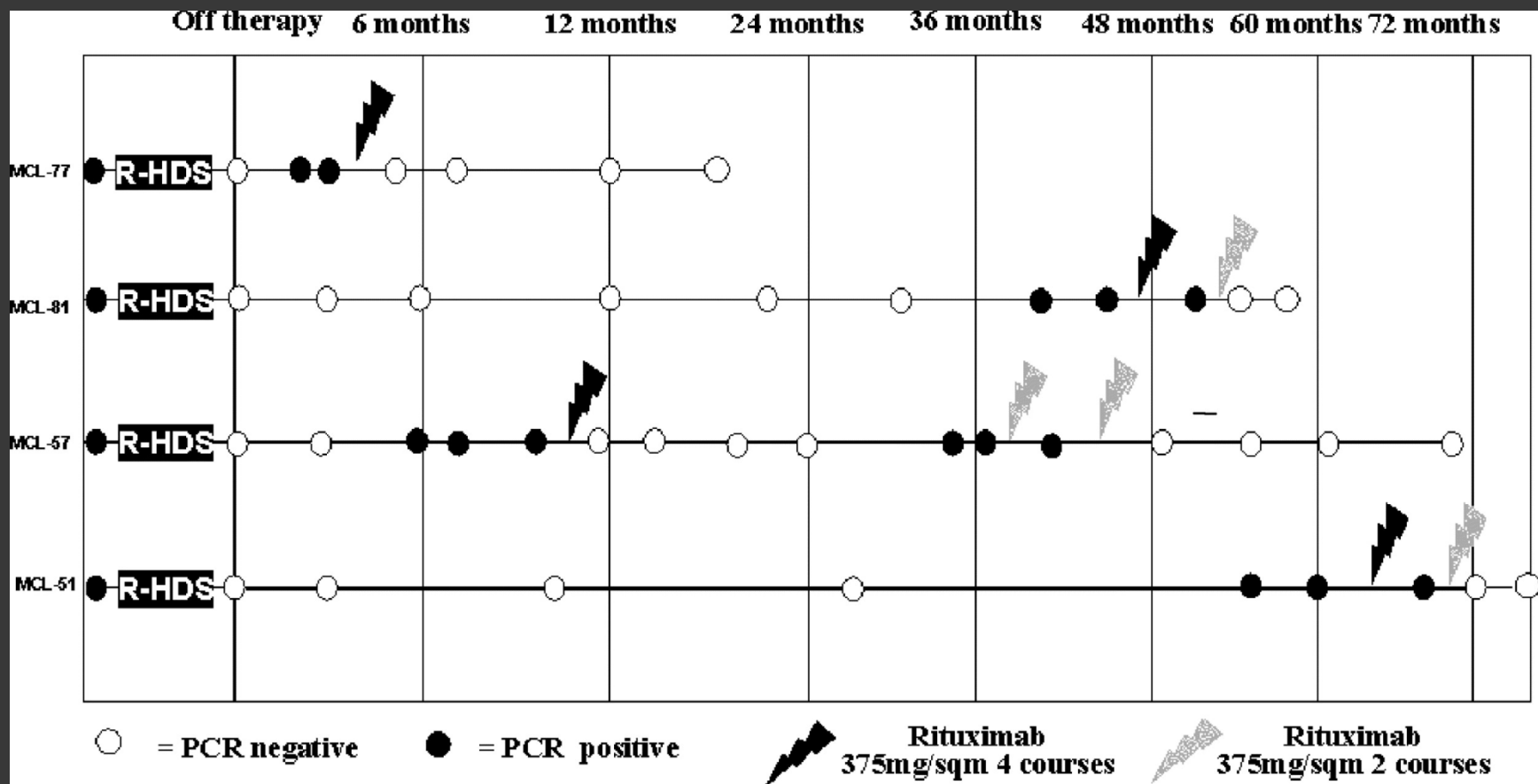
Rituximab Induces Effective Clearance of Minimal Residual Disease in Molecular Relapses of Mantle Cell Lymphoma

Marco Ladetto,¹ Michele Magni,² Gloria Pagliano,¹ Federica De Marco,¹ Daniela Drandi,¹ Irene Ricca,¹ Monica Astolfi,¹ Paola Matteucci,¹ Anna Guidetti,¹ Barbara Mantoan,¹ Chiara Lobetti Bodoni,¹ Manuela Zanni,¹ Mario Boccadoro,¹ Alessandro M. Gianni,^{2,3} Corrado Tarella¹



« Rituximab Induces Effective Clearance of Minimal Residual Disease in Molecular Relapses of Mantle Cell Lymphoma » Marco Ladetto et al.

Biology of Blood and Marrow Transplantation, dec 2006



« Rituximab Induces Effective Clearance of Minimal Residual Disease in Molecular Relapses of Mantle Cell Lymphoma » Marco Ladetto et al.

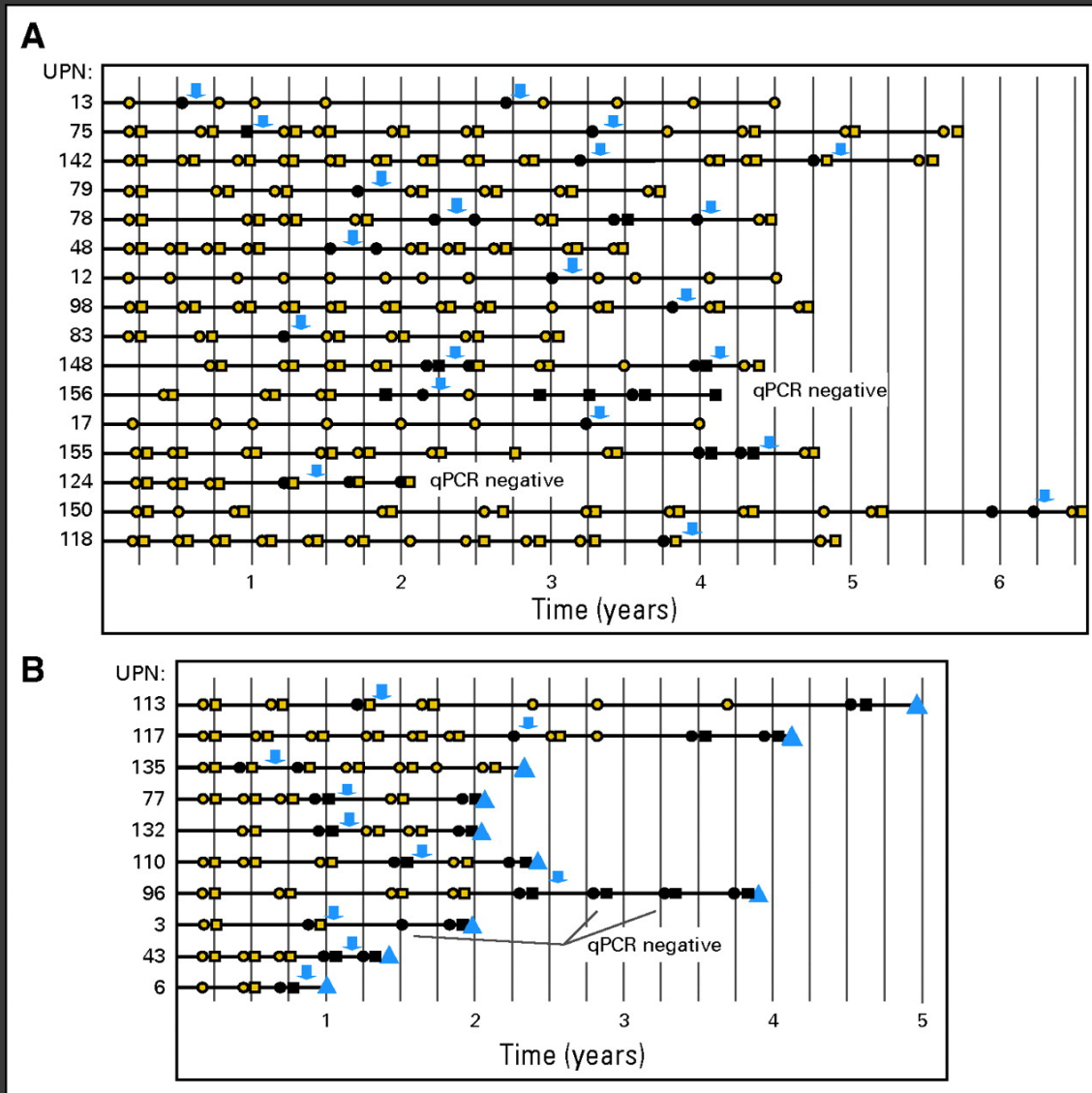
Biology of Blood and Marrow Transplantation, dec 2006

□ sang
 ○ MO
 Neg
 Pos
 ↓
 Ritu
 ▲
 Rechute clinique

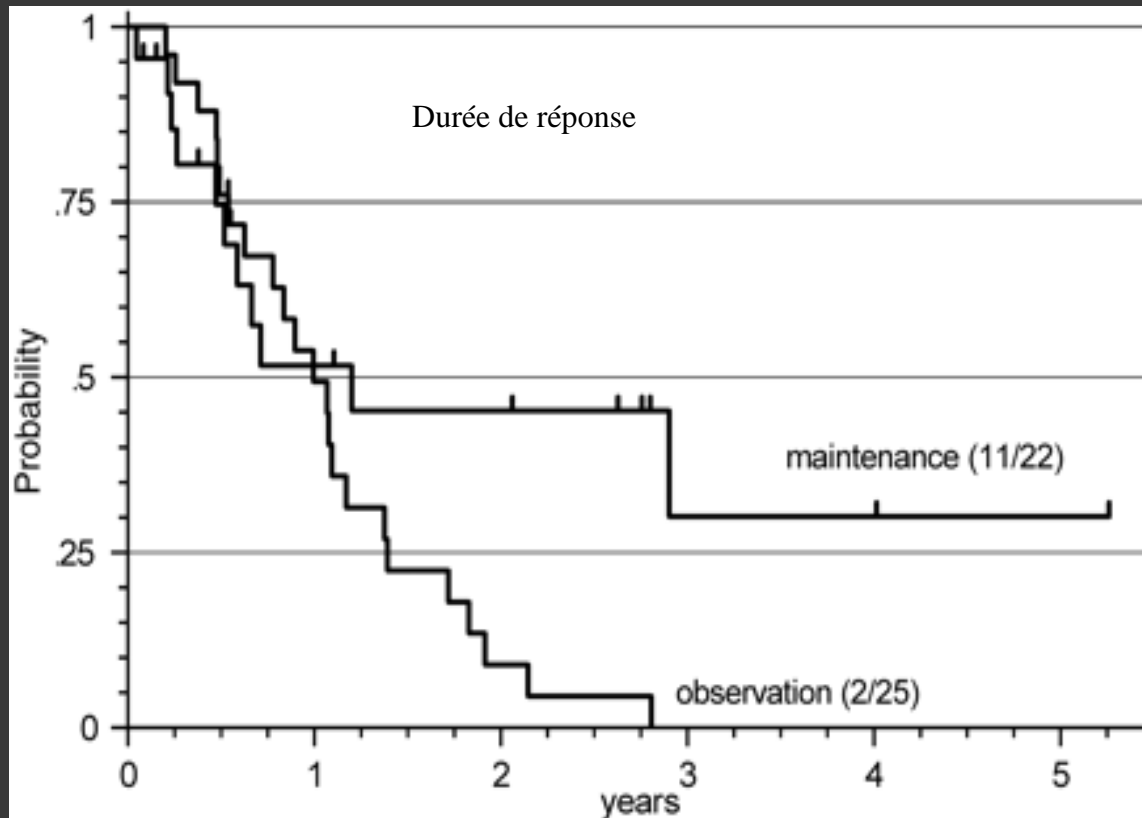
Patients
en RC
clinique

Nested-
PCR

Patients
avec
rechute
clinique
après

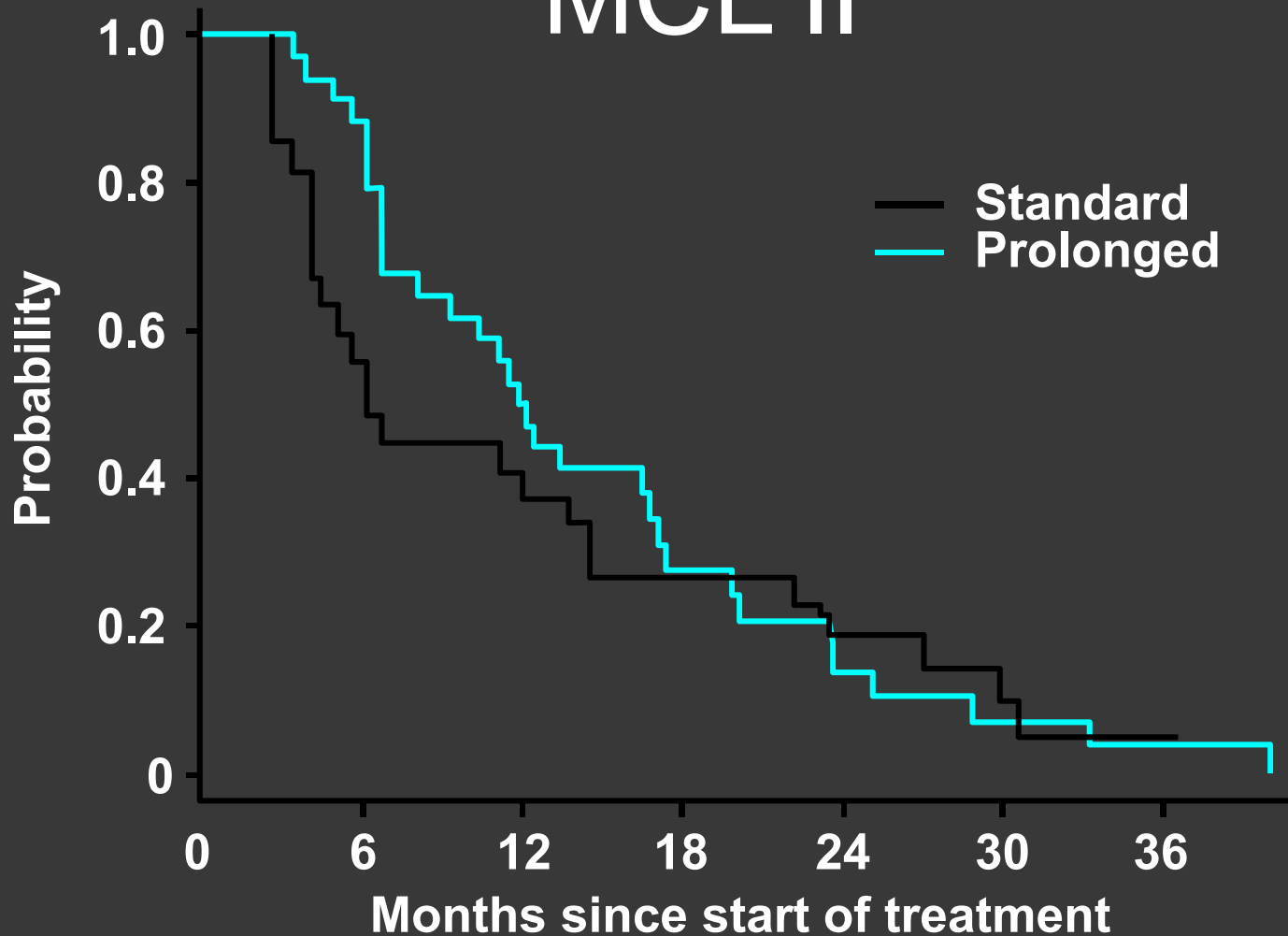


Rituximab et entretien

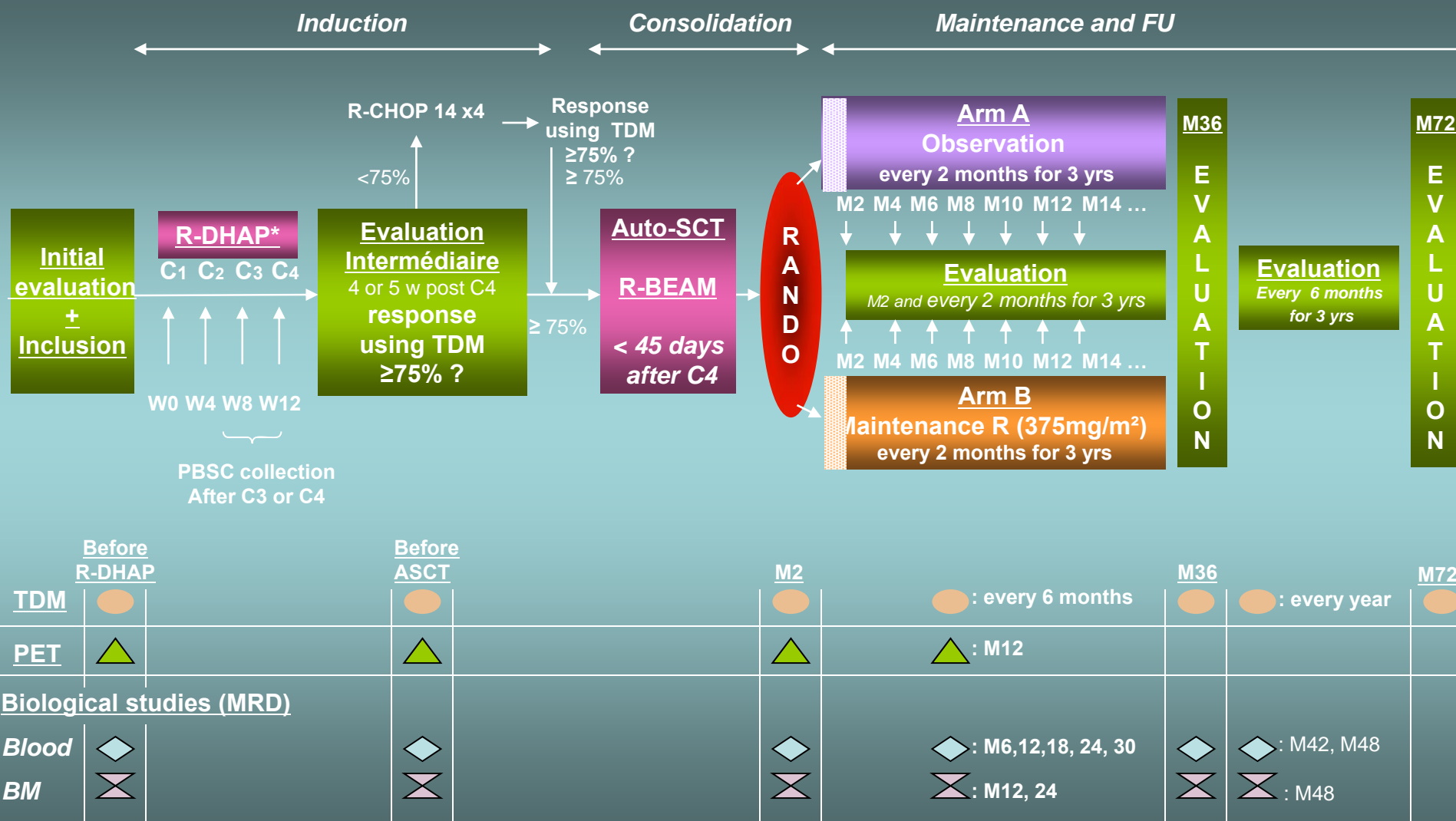


Forstpointner et al Blood 2006

Rituximab maintenance in MCL II



Etude LyMA



Chimiothérapie
d'induction +
rituximab

autogreffe

Entretien
?

R-VAD-C

R-CHOP 14

R-CHOP14 /R-
DHAP

R-DHAP

Autre:

Revlimid

Velcade

Bendamustine

TBI/Endoxar

TAM

BEAM

Z-BEAM

Rituximab ?

...

Traitement rechute moléculaire ?

Phase II clinical experience with the novel proteasome inhibitor Bortezomib in patients with indolent Non-Hodgkin's Lymphoma and Mantle Cell lymphoma

O'Connor et al JCO février 2005 (vol 23, (4) 676-684)



Phase II study of proteasome inhibitor Bortezomib in relapsed or refractory B-Cell Non-Hodgkin's Lymphoma

A Goy et al JCO février 2005 (vol 23, (4) 667-675)



Multicenter phase II study of bortezomib in patients with relapsed or refractory MCL

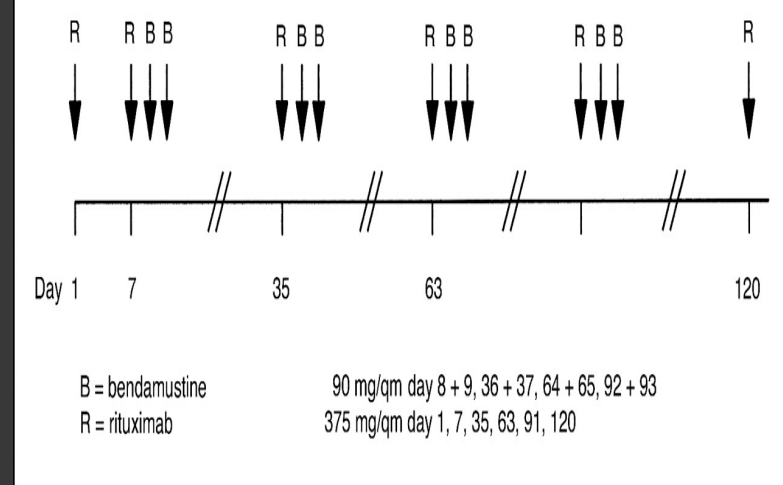
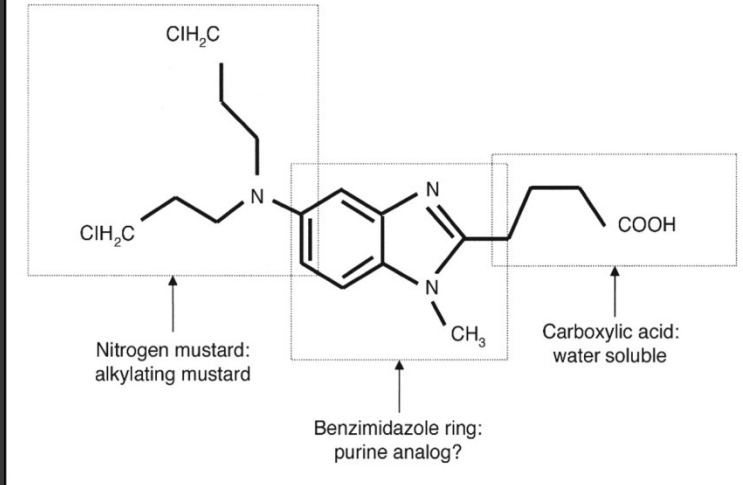
Fisher R et al. JCO octobre 2006

- 155 patients en rechute de MCL (de 1 à 3 lignes de ttt avant)
- Taux de réponse: 33%
- Taux de RC/Rcu: 8%
- TTP 6.2 mois
- Durée médiane de réponse: 9.2 mois

Velcade-Hyper-CVAD-rituximab

Velcade- Hig-dose aracytine-rituximab (Leuk. and Lymphoma)

Ri-PAD



RECHUTE:

Rummel, M. J. et al. J Clin Oncol; 23:3383-3389 2005

MCL = 16 patients

RC = 8

PR=4

PFS médiane = 18 mois

Robinson, K. S. et al. J Clin Oncol; 26:4473-4479 2008

MCL = 12 patients

RC = 5

Première ligne:

Rummel ASH 2007 abstract 385

R-CHOP vs R-B : taux de RC identique: 40% RC

REVLIMID

MCL =15 pts

CR/Cru =2

PR =6

ORR 53%

Durée médiane de réponse = 13.7

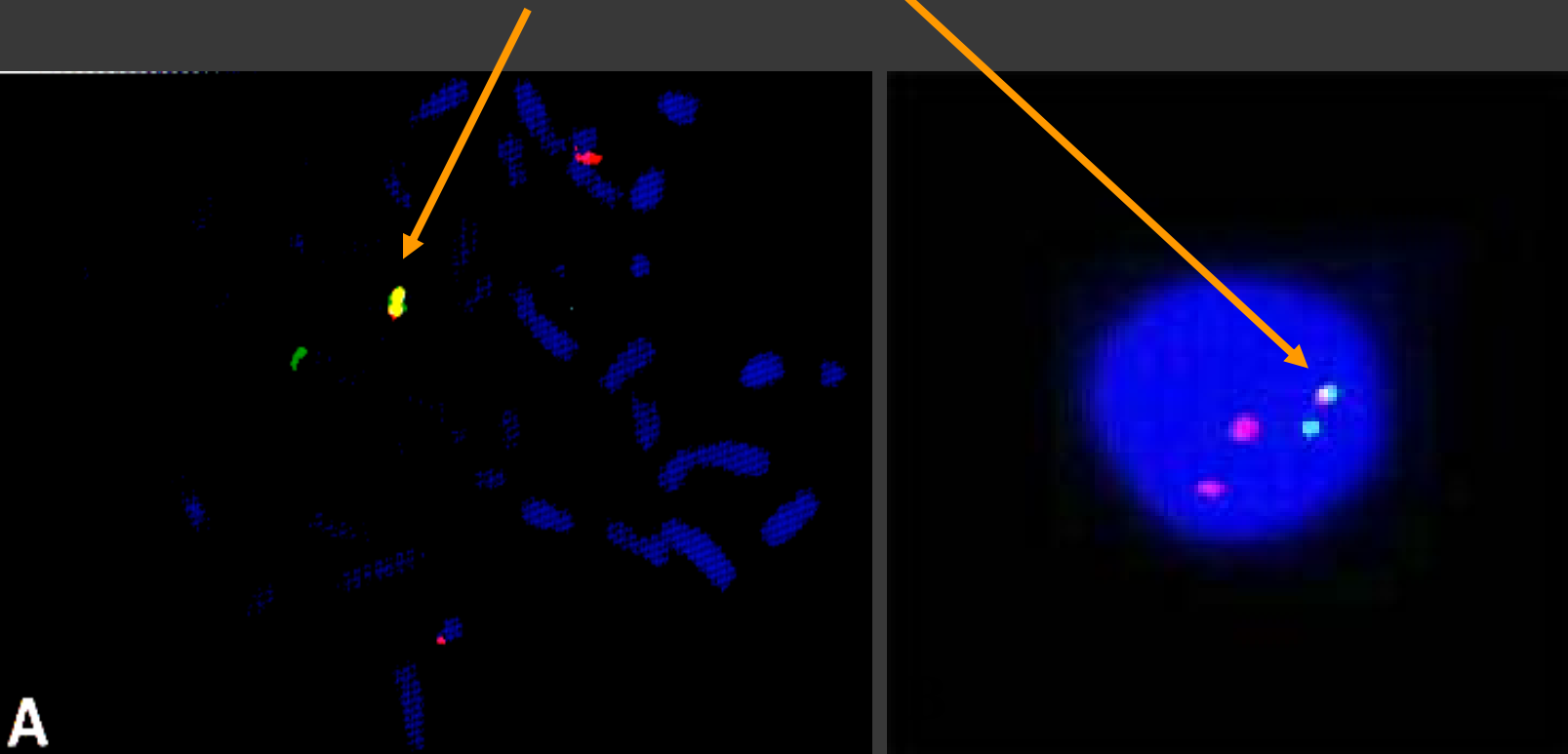
PFS = 5.6m

Wiernick JCO 2008

Habermann BJH 2009

Nouvelles alternatives thérapeutiques ?

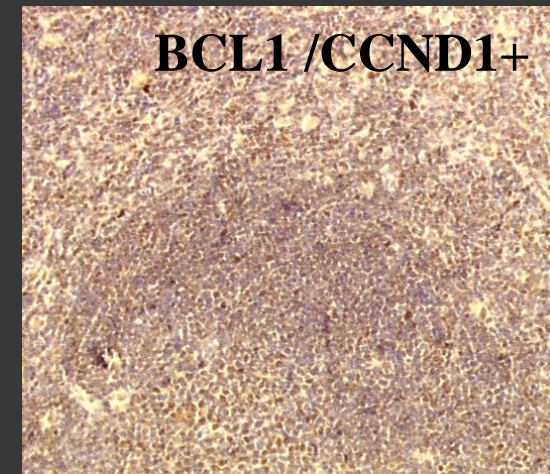
Fusion BCL1-IgH

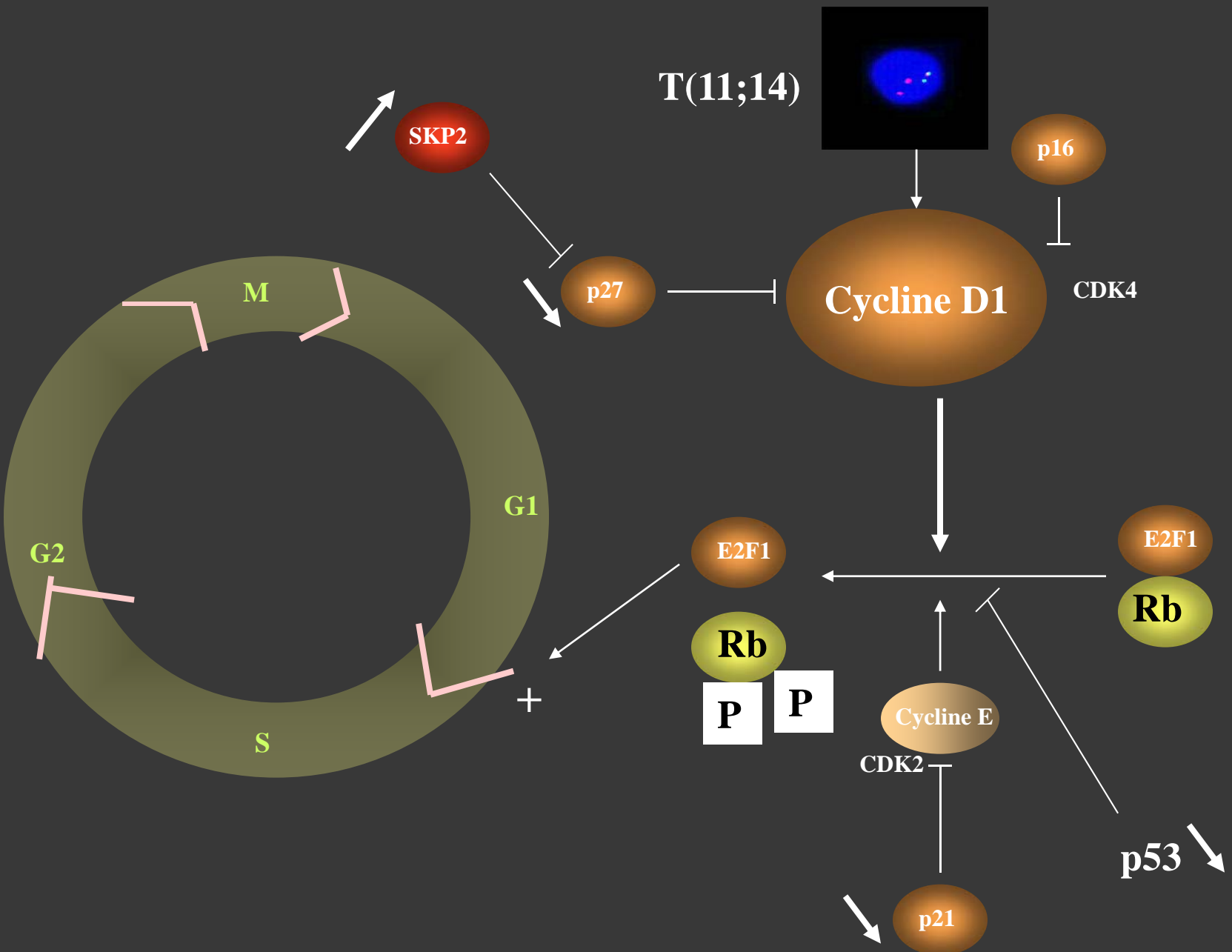


FISH sur métaphase
détection de la t(11;14) en FISH
sondes CCND1 (rouge) et IgH (verte)

FISH interphasique

Immuno-histochimie sur coupe
hyper-expression de la cycline D1 (CCND1)





$t(11;14)(q13;q32)$

Evènement(s)
oncogénique(s)

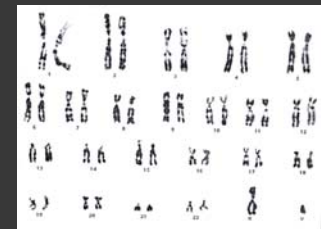
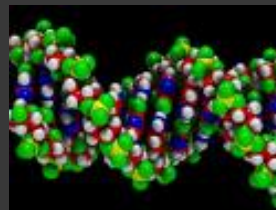
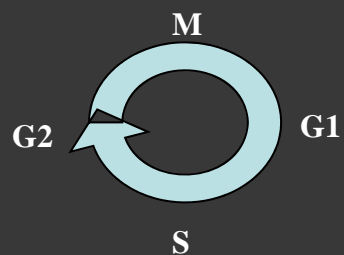


Cycle
cellulaire

Voie de
réparation de
l'ADN

Apoptose

Anomalie
caryotype



Lymphome à
cellules du
manteau



Cycle cellulaire

t(11;14): Cycline D1

Cycline D2 ou D3

Voie p53 (ARF-MDM2-p53)

Voie RB (INK4a-CDK4-RB1)

p27: cycline D1, cycline E-CDK2, CDK4,

p21: Cycline E, CDK4

CDK4 et ses inhibiteurs INK4 (p15, p16)

mTOR

Voie de réparation de l' ADN

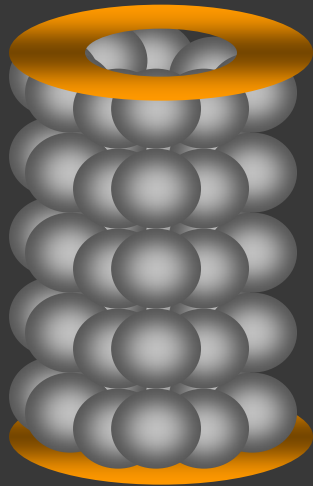
Mutation *ATM*

CHK2 et CHK1 voie p53

Cycle cellulaire	Voie de réparation de l' ADN	Anomalie caryotype*	Apoptose
		<u>NOMBRE tétraploïdie</u>	
		<u>GAINS:</u>	<u>Protéines:</u>
		3q25	BCL-2
		4p12-13	BIM
		7p21-22	FLIP
		8q21 <i>MYC</i>	
		9q22 <i>SYK</i>	
		10p11-12 <i>BMI1</i>	
		12q13 <i>CDK4</i>	<u>Voies régulatrices:</u>
		18q11-q23 <i>BCL2</i>	NFkB
		<u>PERTES:</u>	Akt (PTEN)
		1p13-p31	STAT-3 via Cycline D1
		2q13 <i>BIM</i>	
		6q23-q278p21	
		9p21-22 <i>CDKN2A</i>	
		10p14-15	
		11q22-23 <i>ATM</i>	
		13q11-q13	
		13q14-q34	
		17p13 <i>p53</i>	
		22q12	

* d'après Jares et al. Nature Reviews cancer oct 2007

Inhibiteur du protéasome



- Inhibition de dégradation
- inhibition NfkB
- Limite progression cycle cellulaire (p21 p27)
- Potentialise autres molécules

The Journal of Immunology

Inhibition of Constitutive NF- κ B Activation in Mantle Cell Lymphoma B Cells Leads to Induction of Cell Cycle Arrest and Apoptosis¹

Lan V. Pham, Archito T. Tamayo, Linda C. Yoshimura, Piao Lo, and Richard J. Ford²

Cycle cellulaire

t(11;14): Cycline D1

Cycline D2 ou D3

Voie p53 (ARF-MDM2-p53)

Voie RB (INK4a-CDK4-RB1)

p27: cycline D1, cycline E-CDK2, CDK4,

p21: Cycline E, CDK4

CDK4 et ses inhibiteurs INK4 (p15, p16)

mTOR

Voie de réparation de l' ADN

Mutation *ATM*

CHK2 et CHK1 voie p53

Cycle cellulaire	Voie de réparation de l' ADN	Anomalie caryotype*	Apoptose
		<u>NOMBRE tétraploïdie</u>	
		<u>GAINS:</u>	<u>Protéines:</u>
		3q25	BCL-2
		4p12-13	BIM
		7p21-22	FLIP
		8q21 <i>MYC</i>	
		9q22 <i>SYK</i>	
		10p11-12 <i>BMI1</i>	
		12q13 <i>CDK4</i>	<u>Voies régulatrices:</u>
		18q11-q23 <i>BCL2</i>	NFkB
		<u>PERTES:</u>	Akt (PTEN)
		1p13-p31	STAT-3 via Cycline D1
		2q13 <i>BIM</i>	
		6q23-q278p21	
		9p21-22 <i>CDKN2A</i>	
		10p14-15	
		11q22-23 <i>ATM</i>	
		13q11-q13	
		13q14-q34	
		17p13 <i>p53</i>	
		22q12	

* d'après Jares et al. Nature Reviews cancer oct 2007

Phase II Trial of Single-Agent Temsirolimus (CCI-779) for Relapsed Mantle Cell Lymphoma

Thomas E. Witzig, Susan M. Geyer, Irene Ghobrial, David J. Inwards, Rafael Fonseca, Paul Kurtin, Stephen M. Ansell, Ronnie Luyun, Patrick J. Flynn, Roscoe F. Morton, Shaker R. Dakhil, Howard Gross, and Scott H. Kaufmann

A B S T R A C T

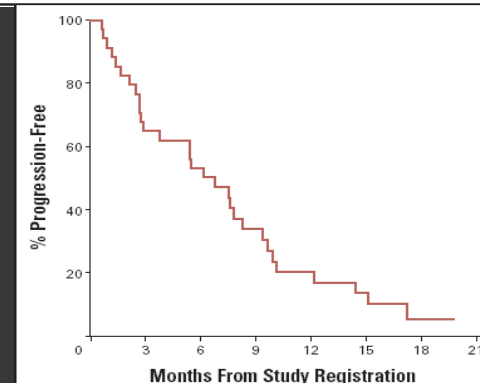
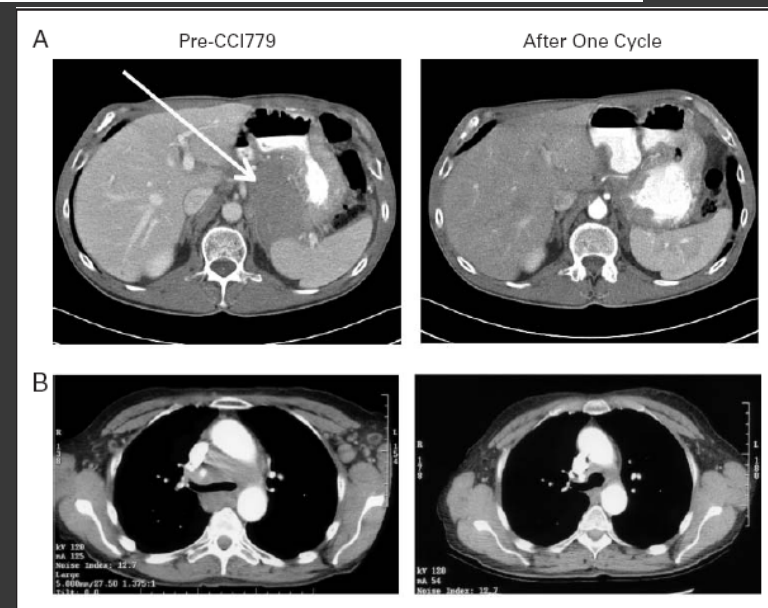
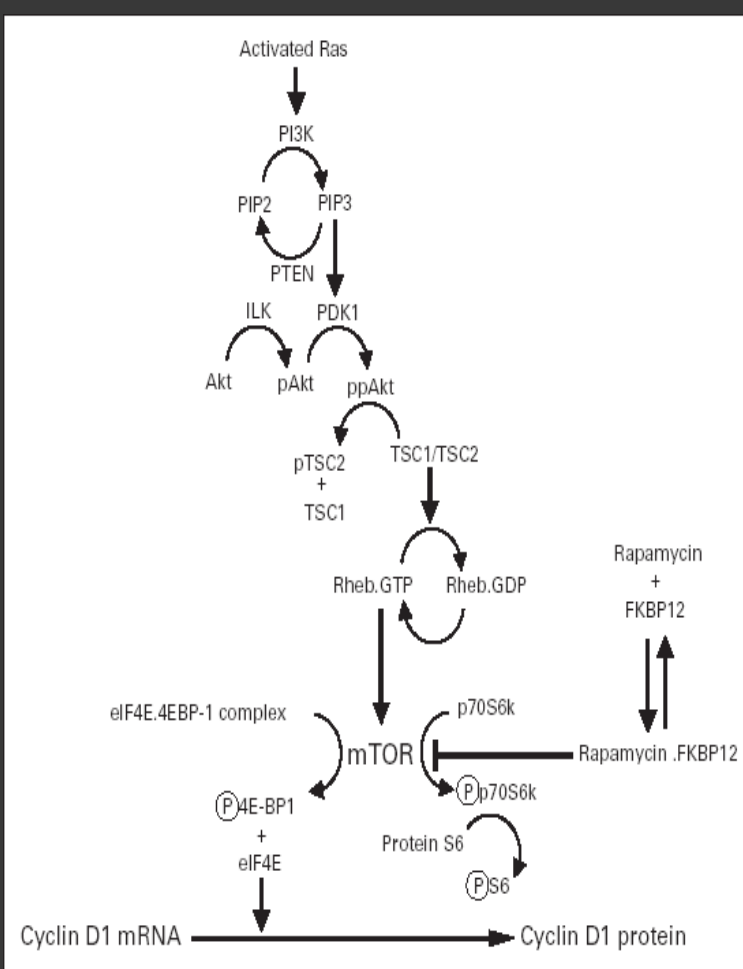
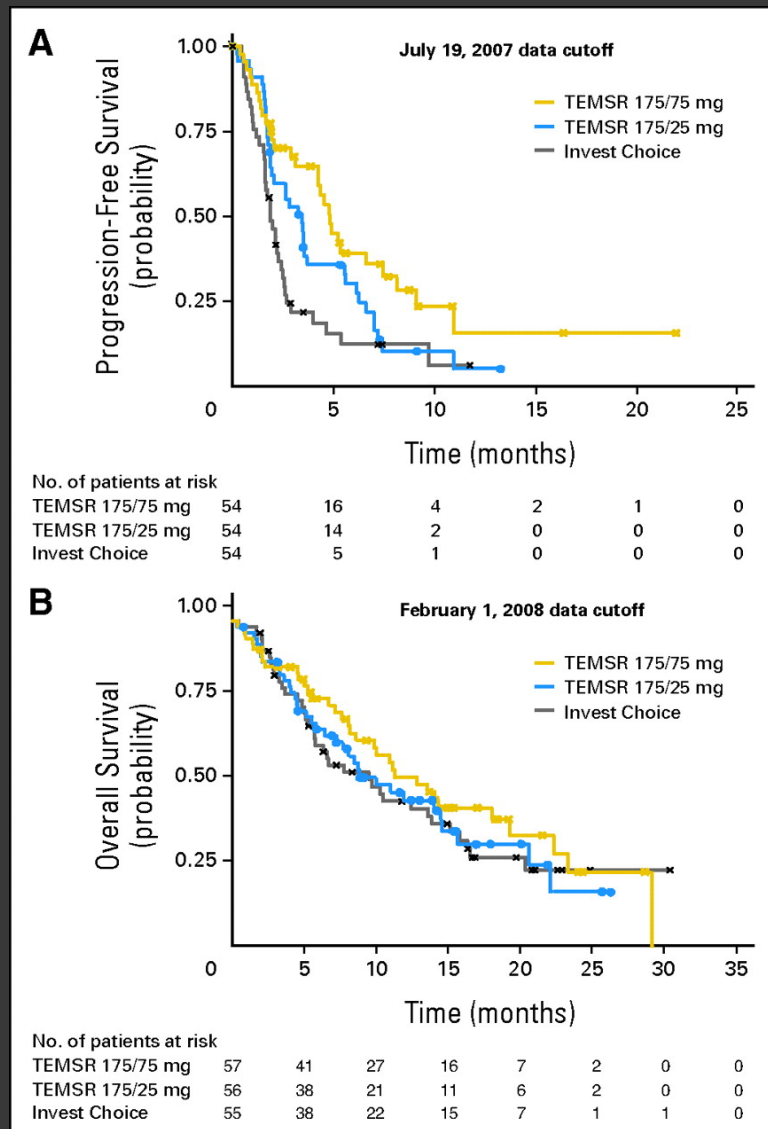
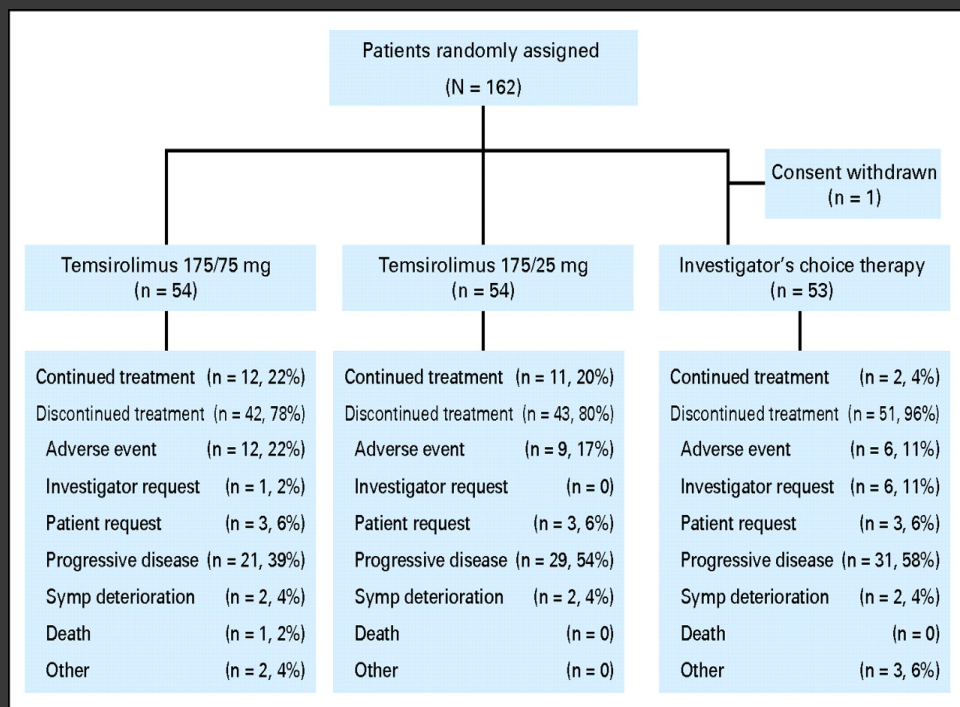


Fig 3. Time to progression after temsirolimus in all 34 patients.



**Qui est posé sur la benchside et qui
ira (peut-être) jusqu'au bedside ?**

Immunothérapie/ Radio-immunothérapie

Inhibiteur des voies de transduction

HDAC

Peptides agissant sur les voies de régulation de l'apoptose

Inhibiteurs du cycle cellulaire

Autres molécules:

CD20:

forme humanisée:

Ofatumumab (Coiffier et al. Blood 2007: LLC)

Ocrelizumab (Morshhaueser et al ASH 2007)

Forte affinité au FCgR: Augmenter l'ADCC

AME-133 (hA20)

rhuMAB v114

GA-101

CD52: Campath (Alemtuzumab)

CD23 (?): Lumiliximab (préclinique: Blood 2007): apoptose, chimérique (homme/macaque); LLC

CD22: Epratuzumab (seul ou en association avec anti-CD20; RIT): ADCC/tyrosine phosphorylation

CMC-544: anti-CD22 + calichamicine (exotoxine psuedomonas)

CD80: Galiximab (JCO 2005; LF 11% de réponse): ADCC

CD40: SGN-40

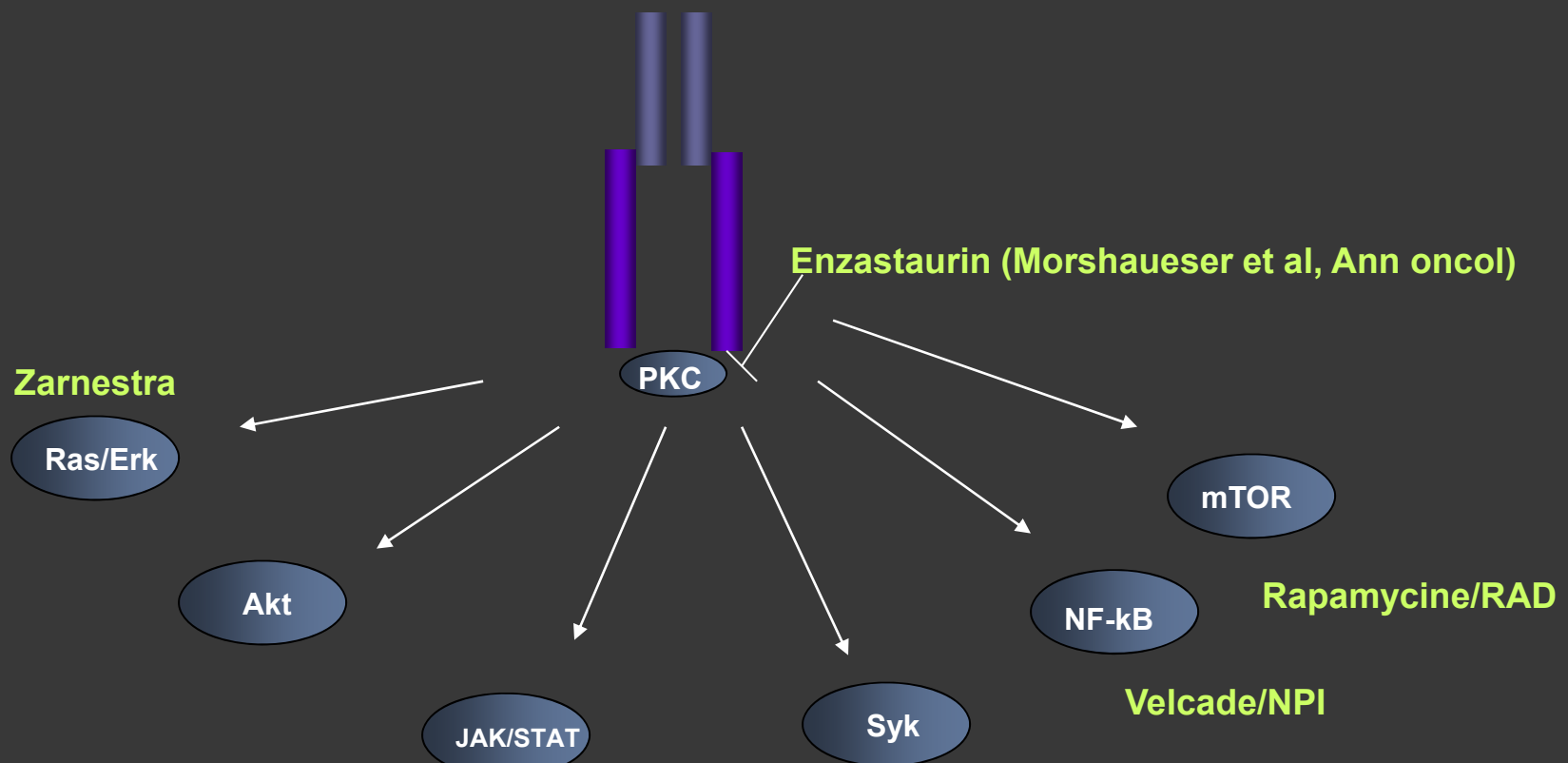
HCD 122

CD30/CD25/CD2

VEGF: Avastin

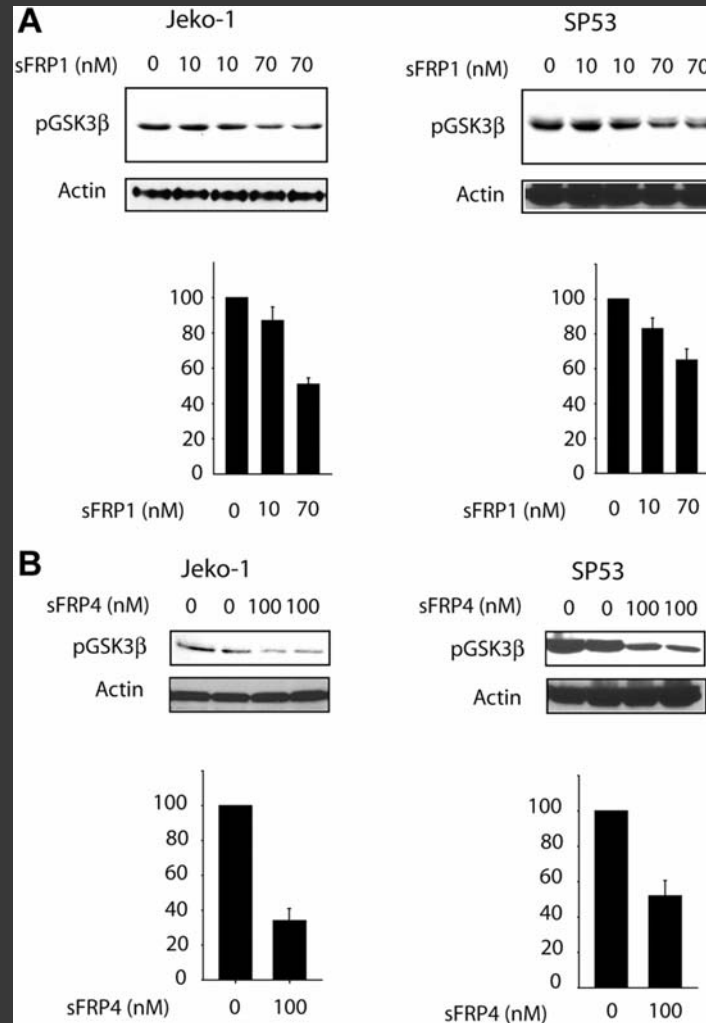
Antagoniste de TRAIL DR4 et DR5

Inhibiteur des voies de transduction



Constitutive activation of the Wnt canonical pathway in mantle cell lymphoma

Pascal Gelebart, Mona Anand, Hanan Armanious, Anthea C. Peters, Jennifer Dien Bard, Hesham M. Amin and Raymond Lai



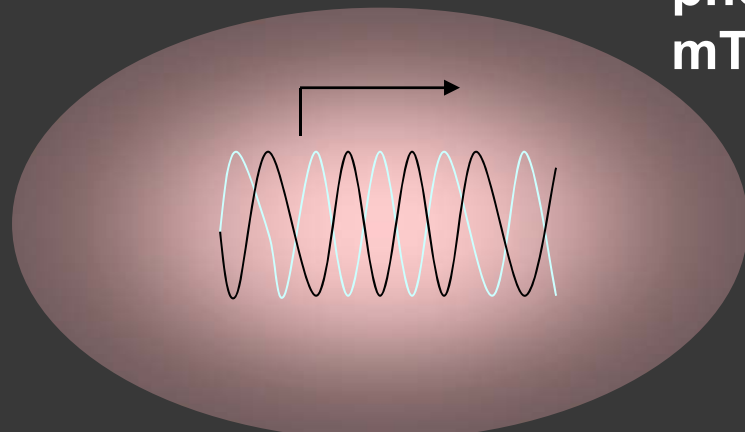
HDAC

Vorinostat

Depsipeptide

Baisse niveau cycline
D1

Inhibition de
phosphorylation Akt,
mTOR



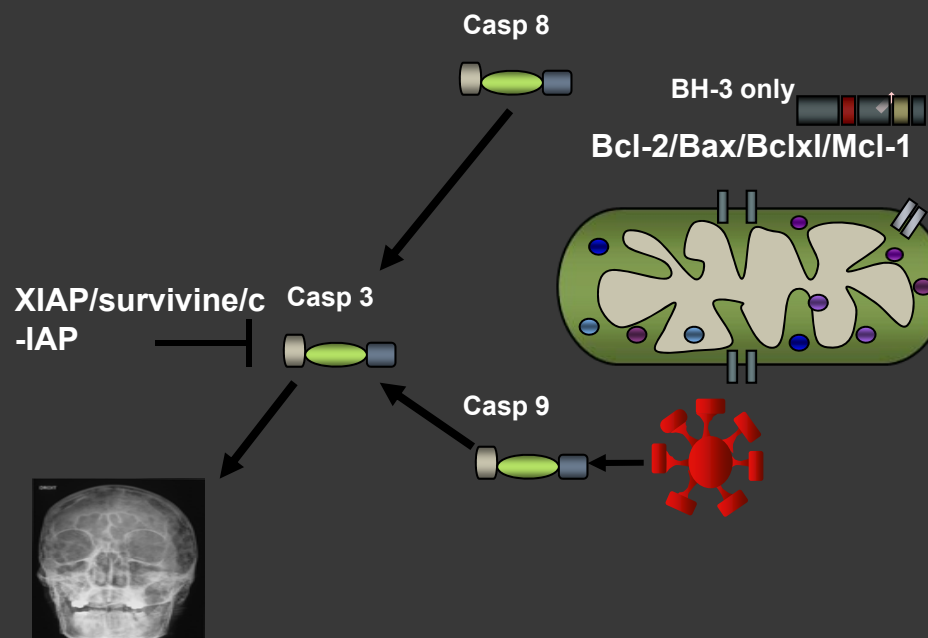
Peptides agissant sur les voies de régulation de l'apoptose

Anti-Bcl2

GX 15-070

YM-155

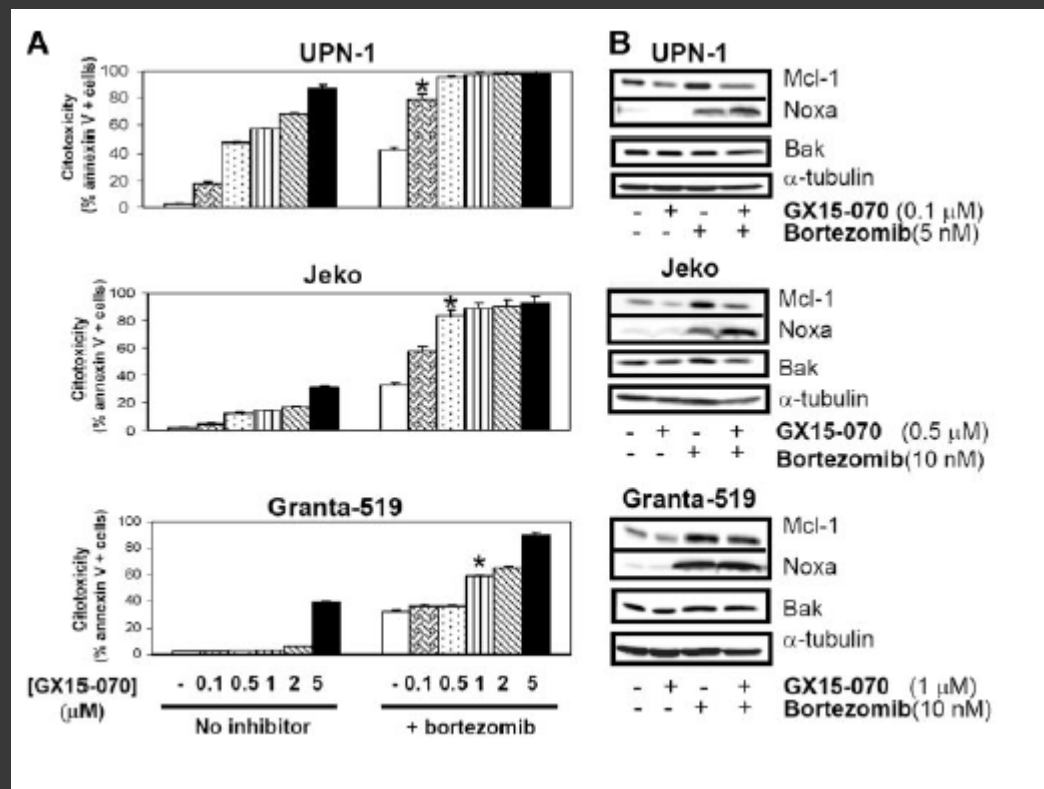
ABT-737



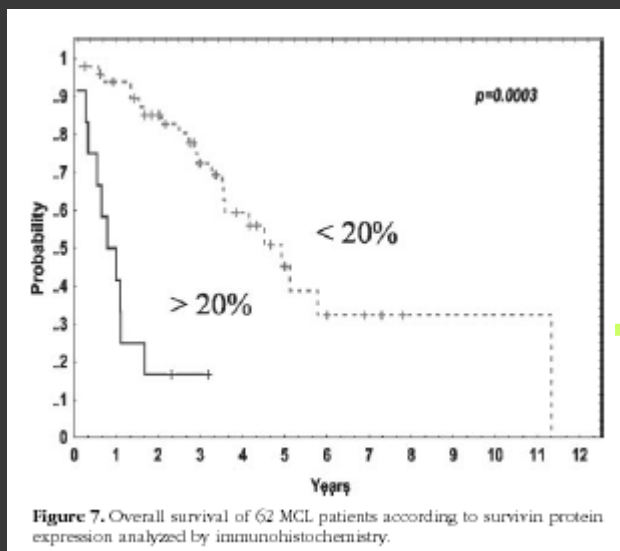
The BH3-mimetic GX15-070 synergizes with bortezomib in mantle cell lymphoma by enhancing Noxa-mediated activation of Bak

Patricia Pérez-Galán,¹ Gaël Roué,¹ Neus Villamor,¹ Elias Campo,¹ and Dolors Colomer¹

¹Hematopathology Unit, Department of Pathology, Hospital Clínic, Institut d'Investigacions Biomèdiques August Pi i Sunyer (IDIBAPS), University of Barcelona, Spain



Nuclear Survivin Expression in Mantle Cell Lymphoma Is Associated with Cell Proliferation and Survival



YM-155 ?

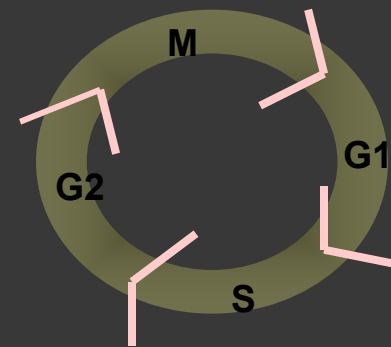
Figure 7. Overall survival of 62 MCL patients according to survivin protein expression analyzed by immunohistochemistry.

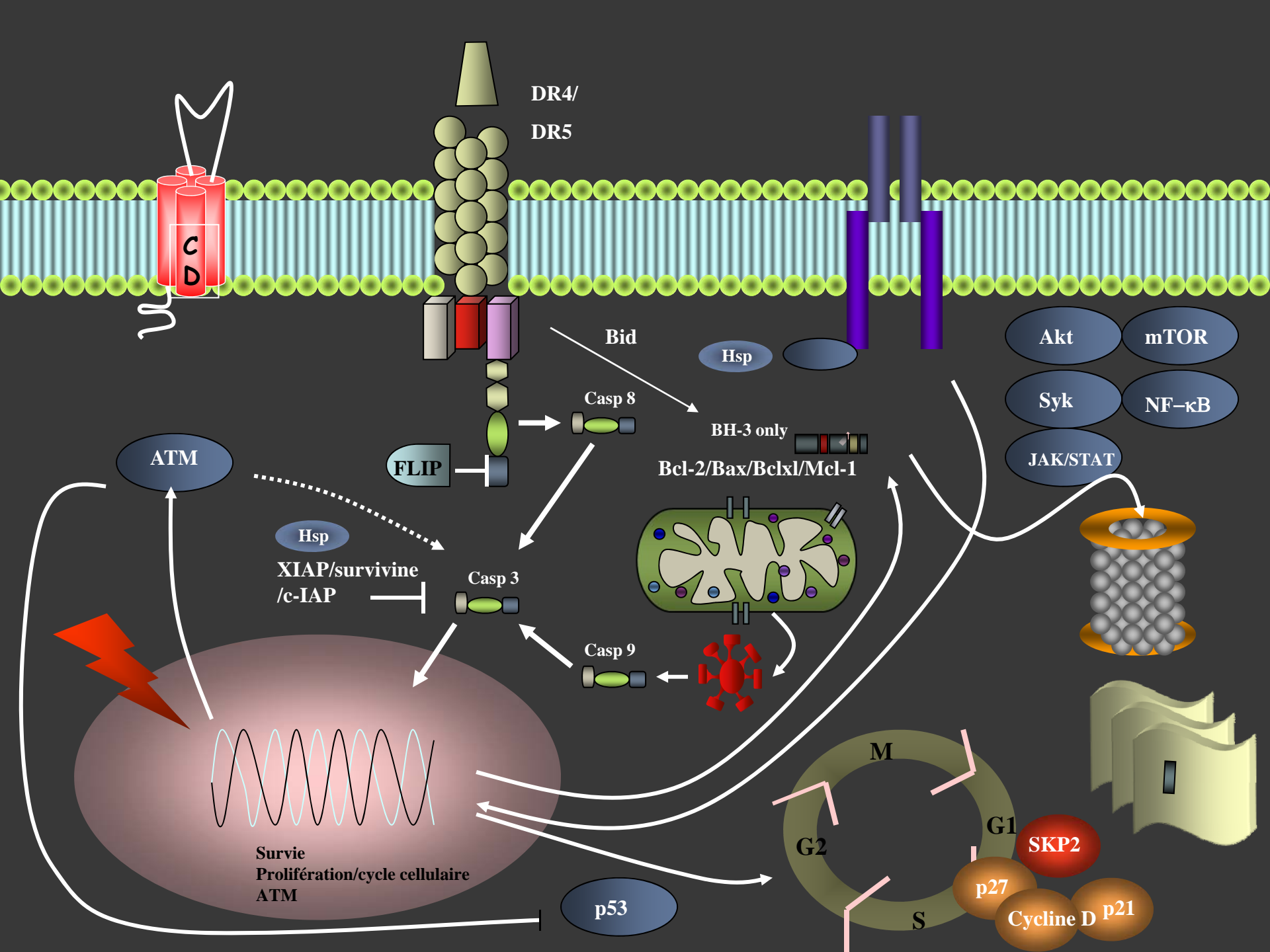
Inhibiteurs du cycle cellulaire

Flavopiridol: cdk inhibiteur

Inhibition sélective cdk:

roscovitine





INSERM UMR 892, IRCNA

Service d'hématologie clinique CHU de Nantes

